

ИССЛЕДОВАНИЕ ПРОДОЛЬНОГО РАЗДЕЛЕНИЯ ДВУХНИТОЧНОГО РАСКАТА В ДВУХРУЧЬЕВОМ КАЛИБРЕ СРЕЗОМ ПЕРЕМЫЧКИ

ШУЛЬГИН Г.М. (ДонГТУ)

Путем совместного решения уравнений равновесия моментов и проекций сил получены уравнения регрессии для определения предельной толщины перемычки и смятия кромок овальных профилей двухниточного раската при его продольном разделении в двухручьевом калибре с наклонными к оси валков ручьями. При этом использован аппарат математического планирования эксперимента и численные методы решения нелинейных уравнений.

Для производства арматурной стали мелких сечений разработана технология многоручьевой прокатки-разделения, заключающаяся в конечном итоге в формировании многониточного раската, состоящего из двух плоских или однорадиусных овальных профилей, соединенных по большим осям тонкой перемычкой с концентратором напряжений у перемычек в виде двухстороннего заката. Последующее продольное разделение многониточного раската может осуществляться срезом перемычек путем взаимного поворота овальных профилей вокруг продольных осей в одном направлении, обеспечиваемого калиброванными холостыми роликами специального устройства в межклетевом промежутке или прокаткой многониточного раската в многоручьевом калибре с наклонным расположением ручьев.

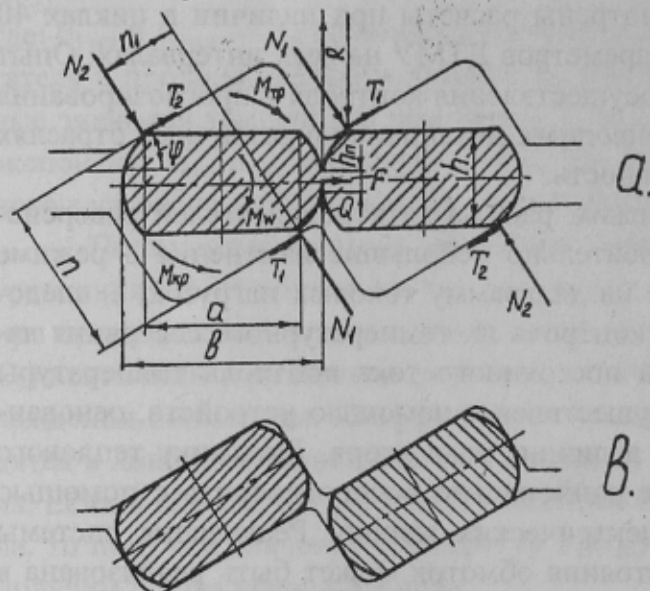


Рисунок 1 — Поперечные сечения очага деформации при продольном разделении двухниточного раската в двухручьевом калибре с наклонными ручьями в момент захвата раската валками (а) и на выходе из очага деформации (б)

мяущиеся повернуть овальные полосы вокруг их продольных осей. С учетом смятия вершин овальных полос в месте контакта с валками:

$$M_{kp} = 0,5 m_{cp} (N_1 + N_2) \cos \varphi, \quad (1)$$

$$m_{cp} = a - \frac{1}{3} (\Delta Z_1 + \Delta Z_2) \sin \varphi, \quad (2)$$

где a — ширина прямоугольной части овального профиля, мм; ΔZ_1 и ΔZ_2 — смятие вершин профилей вдоль оси OZ , мм; φ — угол наклона образующих ручьев двухручьевого калибра к оси валка, °.

Повороту полос вначале препятствуют моменты от сопротивления профилей пластическому скручиванию:

$$M_w = \tau_s \times W_p, \quad (3)$$

и моменты от возникающих под действием M_{kp} в зоне перемычки растягивающей F и сдвигающей Q сил

$$F = q_n \sigma; Q = q_n \tau, \quad (4)$$

где τ_s — предел текучести металла при сдвиге, МПа; W_p — момент пластического сопротивления полос при скручивании, мм^3 ; $q_n = 0,5 h_n l_n$ — срезаемая площадь сечения перемычки, мм^2 ; l_n — длина зоны среза перемычки, мм; h_n — толщина перемычки, мм; σ и τ — соответственно нормальное и касательное напряжения в перемычке, МПа.

Длину зоны среза перемычки определяли по зависимости:

$$l_n = \sqrt{n_n h_n R},$$

где R — радиус валка в месте контакта с вершиной овального профиля, мм.

Для прямоугольного сечения момент пластического сопротивления заготовки при скручивании:

$$W_p = \frac{1}{6} (3B - h) h^2, \quad (5)$$

где h и b — соответственно толщина и ширина профиля, мм.

При достижении касательными напряжениями в сечении перемычки напряжений текучести при сдвиге ($\tau = \tau_s$), начнет происходить поворот заготовок вокруг продольных осей со сдвигом металла в районе перемычки, которому дополнительно начнет препятствовать момент M_{tp} , создаваемый силами трения T_1 и T_2 (рисунок 1, а) на поверхности контакта:

$$M_{tp} = 0,5 n_{cp} \times \tau_n (F_{\kappa 1} + F_{\kappa 2}), \quad (6)$$

где $n_{cp} = n - \frac{2}{3} (\Delta Z_1 + \Delta Z_2) \cos \varphi$, мм; $n = h \cos \varphi + a \sin \varphi$, мм; $F_{\kappa 1}$ и $F_{\kappa 2}$ — площадь смятия вершин профиля, мм^2 .

Для определения значений технологических параметров процесса продольного разделения раската рассматривали условие равновесия суммы моментов относительно центра заготовок и проекции сил на ось OZ :

$$\sum M_o = 0; M_{kp} - M_{tp} - M_w - 0,5 b Q = 0; \quad (7)$$

$$\sum P_z = 0; (N_1 - N_2) \cos \varphi - (T_1 - T_2) \sin \varphi - Q = 0. \quad (8)$$

Преобразовывая равенство (7) с учетом зависимостей (1)–(6) и уравнения (8) получили:

$$0,5 \left[X_1 \left(1 + 0,5 X_2 \sqrt{n_n X_2 X_3} \right) - \frac{1}{3} \right] - \frac{m_{cp}}{h} \left(\cos \varphi - f \sin \varphi \right) \left(\frac{S}{h^2} + 2 \frac{F_{\kappa 2}}{h^2} \right) \cos \alpha = 0, \quad (9)$$

где:

$$\frac{m_{cp}}{h} = X_1 - 2X_4 - \frac{1}{3} \left(\frac{\Delta Z_2}{h} + \frac{\Delta Z_1}{h} \right) \sin \varphi;$$

$$(8) \quad \frac{S}{h^2} = \frac{0,2875}{(\cos \varphi - f \sin \varphi) \cos \alpha} X_2 \sqrt{n_h X_2 X_3};$$

$$\frac{F_{\kappa 2}}{h^2} = 0,5 \frac{\Delta y_2}{h} \frac{ld_2}{h};$$

$$X_1 = \frac{b}{h}; X_2 = \frac{h_n}{h}; X_3 = \frac{R}{A}; X_4 = \frac{c}{h}; c = 0,5(b-h);$$

$$\frac{\Delta Z_1}{h} = \left[\left(\frac{\Delta Z_2}{h} \right)^{\frac{3}{2}} + \frac{0,1016}{A(\cos \varphi - f \sin \varphi)} X_2 \sqrt{n_h X_2} \right]^{\frac{2}{3}};$$

$$A = \frac{1}{\sin \varphi} + 2X_4 \cos \varphi + 2X_4 \sin \varphi \cdot \operatorname{tg}(\beta + \varphi);$$

$$\beta = \operatorname{arctg} 2X_4; \quad \frac{\Delta y_2}{h} = A \frac{\Delta Z_2}{h}; \quad \frac{ld_2}{h} = \sqrt{2X_3 \frac{\Delta Z_2}{h}}; \quad \cos \alpha = 1 - \frac{0,5}{X_3} \left(1 - \frac{1}{\cos \varphi} + X_5 \operatorname{tg} \varphi \right).$$

Угол φ наклона образующей ручья двухручьевого калибра, обеспечивающий стабильное продольное разделение раската, определяется неравенством:

$$[a(\cos \varphi + \sin \varphi) - h] \cos \varphi \geq n_h h_n + \Delta Z_1 + \Delta Z_2. \quad (10)$$

где $n_h = (1-1,5)h_n$ — коэффициент надежности.

Решение полученного нелинейного уравнения (9) осуществлено численным методом на ПЭВМ типа IBM. Сочетание значений входных факторов, при которых решали уравнение (9), определяли с использованием аппарата математического планирования эксперимента. В результате обработки расчетных значений методами регрессионного анализа получены уравнения регрессии для определения относительного смятия вершин овальных профилей $\Delta Z_1/h$ и $\Delta Z_2/h$ при разделении двухниточного раската в двухручьевом калибре с наклонными ручьями, действительные в диапазоне значений факторов $\varphi \in (10^\circ - 30^\circ)$; $f \in (0,1 - 0,5)$; $X_1 = \frac{b}{h} \in (2-4)$; $X_2 = \frac{h_n}{h} \in (0,1 - 0,3)$; $X_3 = \frac{R}{A} \in (15-35)$ при

$$X_4 = \frac{c}{h} = 0,3 \text{ и } n_h = 1,0:$$

$$(11) \quad \begin{aligned} \frac{\Delta Z_1}{h} = & 0,0524 + 0,182 \operatorname{tg} \varphi - 0,0156 f - 0,0042 \frac{b}{h} + 0,0576 \frac{h_n}{h} - 0,0004 \frac{R}{h} + \\ & + 0,133 f \cdot \operatorname{tg} \varphi - 0,0023 \frac{R}{h} \operatorname{tg} \varphi \end{aligned}$$

$$\frac{\Delta Z_2}{h} = 0,0592 + 0,175 \operatorname{tg}\varphi - 0,0156 f - 0,0044 \frac{b}{h} + 0,0144 \frac{h_n}{h} - 0,0004 \frac{R}{h} + \\ + 0,127 f \cdot \operatorname{tg}\varphi - 0,024 \frac{R}{h} \operatorname{tg}\varphi \quad .(12)$$

Статистические данные анализа уравнений регрессии (11), (12) приведены в таблице 1.

Таблица 1 — Статистические данные анализа уравнений регрессии.

Номер уравнения	Моделируемый параметр	Коэффициент множественной корреляции	Критерий Фишера, F		Остаточная сумма квадратов, Sост.	Критерий Стьюдента Tr	Число степеней свободы	
			расч.	табл.			f ₁	f ₂
11	$\Delta Z_1/h$	0,996	569,0	2,44	0,0004	695,24	7	35
12	$\Delta Z_2/h$	0,996	676,8	2,68	0,0003	826,35	7	35

Предельное значение относительной толщины перемычки, при которой произойдет продольное разделение двухниточного расската при заданных параметрах расската и разделяющего двухручьевого калибра, можно определить из условия (10):

$$\frac{h_n}{h} \leq \frac{1}{n_n} \left[1 - \frac{\Delta Z_1}{h} - \frac{\Delta Z_2}{h} + \cos \varphi \left(\frac{b}{h} - 2 \frac{c}{h} \right) \sin \varphi - 1 \right]. \quad (13)$$

Решая совместно уравнения (13), (11) и (12) нашли предельное значение относительной толщины перемычки

$$\frac{h_n}{h} = \frac{1}{0,072 + n_n} \left\{ 0,8884 + \left[\left(\frac{b}{h} - 0,6 \right) \sin \varphi - 1 \right] \cos \varphi - 0,357 \operatorname{tg}\varphi + \right. \\ \left. + f \left(0,312 - 0,26 \operatorname{tg}\varphi \right) + \frac{R}{h} \left(0,008 + 0,0047 \operatorname{tg}\varphi \right) + 0,0086 \frac{b}{h} \right\}. \quad (14)$$

Уравнения позволяют оценивать влияние входных факторов на условия продольного разделения расската и использованы для расчета калибровок валков при двухручевой прокатке-разделении сортовых профилей.

Изменяя угол φ образующей ручьев двухручьевого калибра можно изменять угол скручивания разделенных профилей вокруг продольных осей и использовать этот эффект для кантовки профилей при задаче их в валки следующей клети.

Список литературы

1. Шульгин Г.М. Совершенствование технологии многоручьевой прокатки-разделения сортовых профилей // Металл и литье Украины, 1997. — № 5. — С. 13–15.

© Шульгин Г.М., 1999.